

# Lectures on the Physics of the Nucleus

FZ Dresden-Rossendorf, Feb-April 2008

Hermann Wolter

(Ludwig-Maximilians-Universität München)

Lect. 2, Feb. 22, 2008

0. Introduction: nucleus as a many-body system

1. Reaction theory

1.1 Scattering states, cross sections

1.2 Born approximation

1.3 Partial waves

1.4 Reactions, reaction amplitude, S-matrix

1.5 Optical potential

1.6 Distorted waves, DW Born Approximation

1.7 Resonance scattering, R-Matrix

2. Compound nucleus  
and compound nuclear reactions

3. Single particle models

4. Pre-equilibrium reactions

5. Many body methods (brief)

6. Collective motion (mainly vibrations)



Summary from last lecture:

### 3-dimensional scattering problem:

3-dimen

radial auslauf Kugelw. mit Winkelmoduliertes Amplitude

Einlauf Welle

z

Streupot.  $V(\vec{r})$

d.h. Streuend bedingung:

$$\psi(\vec{r}) \xrightarrow{|\vec{r}| \rightarrow \infty} A \left( e^{ikz} + f(\vartheta, \varphi) \frac{e^{ikr}}{r} \right) \quad (*)$$

Streuamplitude

asymptotisch!!

differential cross section

$$\frac{d\sigma}{d\Omega} = |f(\Omega)|^2$$

Lippmann-Schwinger Eq. (formal solution)

$$\psi^{(+)}(\vec{r}) = \underbrace{e^{ikz}}_{\psi_0(\vec{r})} + \int d^3r' G^{(+)}(\vec{r}-\vec{r}') U(\vec{r}') \psi^{(+)}(\vec{r}')$$

Streuung

Born approximation

Streuamplitude:

$$f_k(\Omega) = -\frac{1}{4\pi} \int d^3r e^{-i\vec{k}' \cdot \vec{r}} U(\vec{r}) \psi^{(+)}(\vec{r})$$

formale Lösung!

### Born Approximation

$$f_k^{(BA)}(\Omega) = -\frac{1}{4\pi} \int d^3r e^{-i\vec{k}' \cdot \vec{r}} \left( \frac{2m}{\hbar^2} V(\vec{r}) \right) e^{i\vec{k} \cdot \vec{r}}$$

$$f_k^{(BA)}(\Omega) = -\frac{m}{2\pi\hbar^2} \int d^3r e^{i\vec{q} \cdot \vec{r}} V(\vec{r}) \quad \text{Born-Approx.}$$

$\vec{q} = \vec{k} - \vec{k}'$  Impulsübertrag

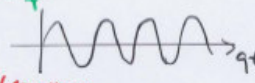
$|\vec{q}| = q = 2k \sin \frac{\vartheta}{2}$

abhängig von Energie ( $k$ ) und Winkel.

high energy approximation

# Examples and Applications:

1) Streuung an Punktladung  $V_c = \frac{Ze^2}{r}$

$f_c^{(BA)}(q) = -\frac{2uZe^2}{k^2q} \int_{-\infty}^{\infty} dx \sin(qx) \frac{1}{x}$  

oszill., nicht konverg.

→ Konvergenzfaktor  $V \rightarrow V' = Ve^{-\lambda r}, \lambda \rightarrow \infty$

$\sin(qr) = \frac{1}{2i}(e^{iqr} - e^{-iqr})$

→  $f_c^{(BA)}(q) = -\frac{2uZe^2}{\pi^2} \frac{1}{q^2} \frac{1}{\lambda} = f_{Rukh}(q)$  Rutherford-Amplitude

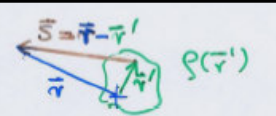
$\frac{d\sigma^{(BA)}}{d\Omega} = |f_c^{(BA)}|^2 = \frac{4u^2(Ze^2)^2}{(k^2q^2)^2} = \left(\frac{2Ze^2}{4E}\right)^2 \frac{1}{\sin^4 \frac{\theta}{2}} = \frac{d\sigma}{d\Omega} |_{Rukh}$

→ für Coulomb:  $\frac{d\sigma}{d\Omega}^{class} \equiv \frac{d\sigma}{d\Omega}^{(BA)} = \frac{d\sigma}{d\Omega}^{Rukh}$  ! (Zufall)

2) endlich Ladungsverteil.

$V(\vec{r}) = \int d^3r' \rho(\vec{r}') V_c(\vec{r}-\vec{r}')$

$f_V^{(BA)}(\Omega) = -\frac{u}{2\pi k^2} \int d^3r' e^{i\vec{q}\cdot\vec{r}'} V(\vec{r})$

$\vec{s} = \vec{r} - \vec{r}'$  

$\vec{s} + \vec{r}' = \vec{r} = \int d^3r' \rho(\vec{r}') V_c(\vec{s})$

$= \int d^3r' e^{i\vec{q}\cdot\vec{r}'} \rho(\vec{r}') \int d^3s e^{i\vec{q}\cdot\vec{s}} V_c(\vec{s}) \left(-\frac{u}{2\pi k^2}\right)$

$=: F(\vec{q})$   $\uparrow$   $f_{Rukh}!$

$\frac{d\sigma}{d\Omega} = \frac{d\sigma}{d\Omega} |_{Rukh} |F(\vec{q})|^2$

mit  $F(\vec{q}) = \int d^3r' e^{i\vec{q}\cdot\vec{r}'} \rho(\vec{r}')$  Form faktor  
 $\hat{=}$  Fouriertransf der Ladungsverteil.

→ Messung der Abt. ver!

4) Bestimmung der Ladungsverteilung

$\alpha)$  Inverse Fouriertransformation

$\rho(\vec{r}) = \frac{1}{(2\pi)^3} \int_{\mathbb{R}^3} e^{-i\vec{q}\cdot\vec{r}} F(\vec{q}) d^3q$

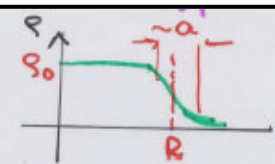
Belast  $\vec{q}$ ? (d.h. Winkel, Energie)

→ Fehlerband (Fourier-Bessel Analyse)

$\beta)$  Ansatz für  $\rho(\vec{r})$  und Bestimmung der Parameter

i) Nukleon  $\rho_c = \frac{\rho_0}{8\pi} e^{-ar} \rightarrow F(q^2) = \frac{1}{(1+q^2/a^2)^2}$

experiment  $a \approx 4.2 \text{ fm} \rightarrow \sqrt{\langle r^2 \rangle} \approx 0.86 \text{ fm}$

ii) Kern  $\rho_c(r) = \frac{\rho_0}{1 + \exp\left(\frac{r-R}{a}\right)}$  

exp.:

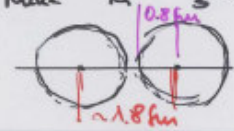
- $R = r_0 A^{1/3}, r_0 \approx \text{const} \approx 1.15 \text{ fm}$
- $a \approx \text{const} \approx 0.6 \text{ fm}$
- $\rho_0 \approx \text{const} \approx 0.16 \text{ fm}^{-3} = \frac{1}{6} \frac{\text{Nukl}}{\text{fm}^3}$

Flüssigkeitseigenschaften, Sättigung!

$V \propto R^3 \sim A, \rho \ll R$  (außer für kleine Kerne)

$\frac{Vol}{Nukl} = \frac{V}{A} = \frac{4\pi}{3} r_0^3 \rightarrow$  mittl. Abstand der Nukl.

$\bar{d} \approx \sqrt[3]{\frac{V}{A}} \sim 1.6 \text{ fm} \sim 1.8 \text{ fm}$

 → dichte Packung!

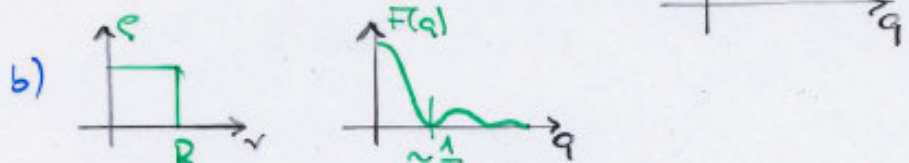
# Applications of BA (contd.)

5) Qualitatives Verhalten:

$$a) F(\vec{q}) = \int d^3r \rho(\vec{r}) e^{i\vec{q}\cdot\vec{r}}$$

$$= 1 - \frac{q^2}{6} \langle r^2 \rangle + \dots$$

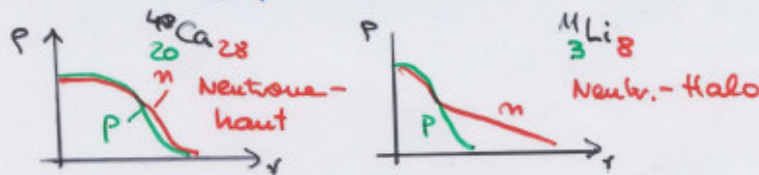
$$1 + i\vec{q}\cdot\vec{r} - \frac{1}{2}(\vec{q}\cdot\vec{r})^2 + \dots$$



6) Elektronenstrom, mit Ladungsverteilung, Scherze Massenverteilung?

Bei stabilen Kernen approx:  $\rho_{mass} = \frac{A}{Z}$  Scherze

aber interessante Effekte nur bei Kernen mit großen Neutronenüberschuß (exot. Ker)



Messung  $\rho_{ch}$ : Hadronstreuung: p, pi, -> "optisches" Pot.  
 schwache WW:  $v \ll c$  (Vorzellg)

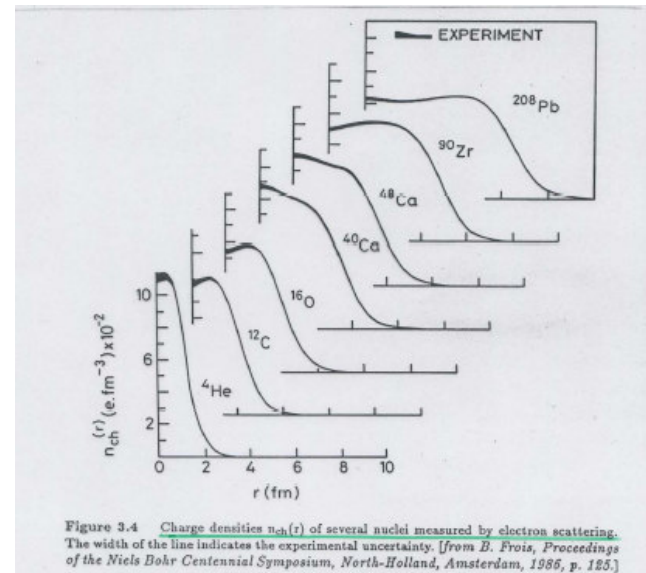
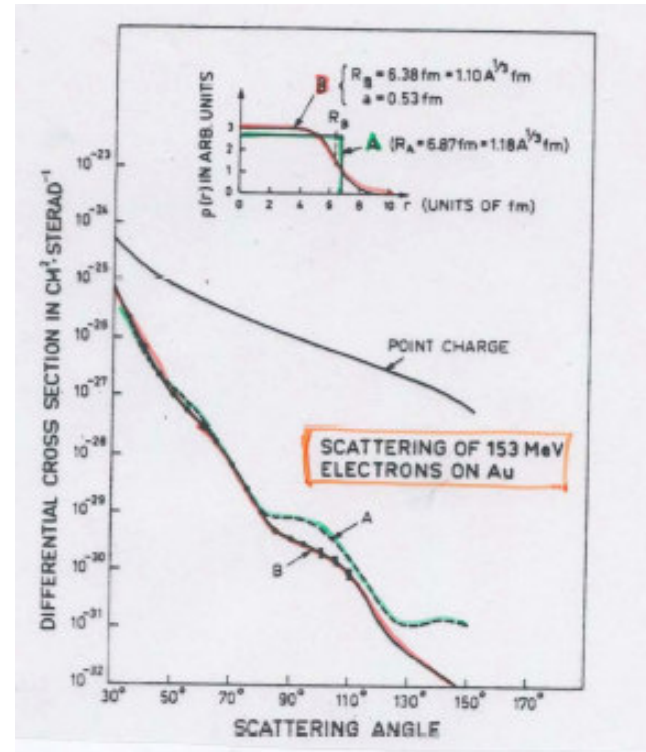


Figure 3.4 Charge densities  $n_{ch}(r)$  of several nuclei measured by electron scattering. The width of the line indicates the experimental uncertainty. [from B. Frois, Proceedings of the Niels Bohr Centennial Symposium, North-Holland, Amsterdam, 1986, p. 125.]

# Partial waves:

- Methode zur exakten Berechn. der Streuamplitude im Sinne einer Entwicklung
- Klassifizierung der exp. Information

## Bahndrehimpuls:

klassisch  $\vec{L} = \vec{r} \times \vec{p}$   
 $\rightarrow$  q. mech  $\hat{L} = \vec{r} \times \hat{p}$       $[L_z, L^2] = 0$

Zentralsymm. Potential:  $V(r)$

daher:  $[H, L^2] = [H, L_z] = [L^2, L_z] = 0$   
 EF von  $H$  auch EF von  $L^2, L_z$ , also Ansatz  
 $\psi(r) = R_{\ell m}(r) Y_{\ell m}(\vartheta, \varphi)$       $Y_{\ell m}(\vartheta, \varphi)$  spherical harmonics  
 ( $\ell$  hängt nicht von  $L_z$  ab!)

$\rightarrow$  „radial“ Schrödinger equation

$$\left( \frac{1}{r} \frac{\partial^2}{\partial r^2} r - \frac{\ell(\ell+1)}{r^2} - U(r) + k^2 \right) R_{\ell}(r) = 0 ; \quad k^2 = \frac{2mE}{\hbar^2}$$

1) Lsg für  $V \equiv 0$  (freies Teilchen, Kont. Spektrum)

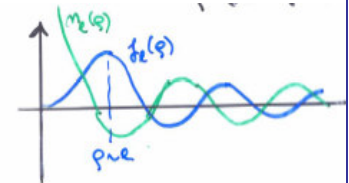
$$\nabla^2 - \frac{\ell(\ell+1)}{r^2} - U(r) + k^2 \Big|_{U=0} \psi_{\ell m}(r) = 0$$

Normalized solutions: Bessel, Neumann and Hankelfct.

$$j_{\ell}(\rho) \xrightarrow{\rho \rightarrow \infty} \frac{1}{\rho} \sin\left(\rho - \frac{\ell\pi}{2}\right)$$

$$n_{\ell}(\rho) \xrightarrow{\rho \rightarrow \infty} \frac{1}{\rho} \cos\left(\rho - \frac{\ell\pi}{2}\right)$$

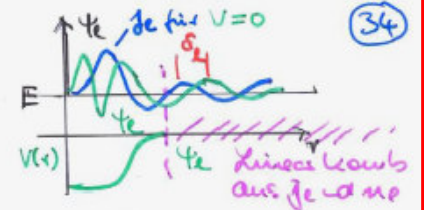
$$h_{\ell}^{(\pm)}(\rho) = n_{\ell} \pm i j_{\ell} \xrightarrow{\rho \rightarrow \infty} i^{\pm \ell} \frac{e^{\pm i\rho}}{\rho}$$



2) Lsg. für  $V \neq 0$  (für kurzreichw. Pot.)

$$\psi_{\ell m} = \psi_{\ell}(r) Y_{\ell m}(\Omega)$$

$$\psi_{\ell}(r) \xrightarrow{r \gg R} \alpha j_{\ell}(r) + \beta n_{\ell}(r) \rightarrow \frac{1}{\rho} \sin\left(\rho - \frac{\ell\pi}{2} + \delta_{\ell}\right)$$



$$\psi_{\ell}(r) \xrightarrow{r \rightarrow \infty} \frac{1}{\rho} \sin\left(\rho - \frac{\ell\pi}{2} + \delta_{\ell}\right)$$

asymptotische Phasenverschiebung gegenüber Lsg mit  $V=0$

$$= \frac{e^{i\delta_{\ell}}}{2i} \left( h_{\ell}^{(-)}(r) + e^{2i\delta_{\ell}} h_{\ell}^{(+)}(r) \right) =: S_{\ell} \text{ "Streu matrix"}$$

Phasenverschiebung  $\delta_{\ell}(k)$ ,  $\ell=0, 1, 2, \dots, \infty$  enthält asympt. Information über Wirkung des Streupotentials.

3) Streuamplitude  $\leftrightarrow$  Phasenverschiebung

Streuampl. entwickelbar nach Kugelflct  
 $f_l(k, \theta) = \sum (2l+1) f_l(k) P_l(\cos \theta)$

$$f_l(k) = \frac{1}{k} \sin \delta_l e^{i\delta_l} = \frac{1}{2ik} (S_l - 1)$$

4) Wirksamquerschnitt

$$\frac{d\sigma}{d\Omega} = |f(\theta)|^2 = \frac{1}{k^2} \left| \sum_{l=0}^{\infty} (2l+1) \sin \delta_l e^{i\delta_l} P_l(\cos \theta) \right|^2$$

$$= \frac{1}{k^2} \sum_l \sum_{l'} \dots P_l(\cos \theta) P_{l'}(\cos \theta)$$

$\rightarrow$  Interferenz der verschiedenen Partialwellen

$$\sigma_{\text{tot}} \int \frac{d\sigma}{d\Omega} d\Omega = (\text{Ordnung des Legendre Polynoms})$$

$$= \frac{4\pi}{k^2} \sum_l (2l+1) \sin^2 \delta_l \quad \text{inkohärente Überlagerung der PW}$$

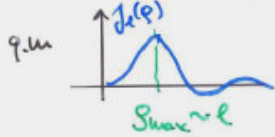
5) Konvergenz der PW-Entwicklung

Wieviele Drehimpulse  $l$  tragen zur Summe bei?  
 klassisch



Stoßparameter  $b$   $\leq R$  Größe des Potentials

$$bR = pb \leq pR \rightarrow l \leq \frac{p}{\hbar} R = kR = \sqrt{\frac{2\mu E}{\hbar^2}} R$$



$l < l_{\text{max}} = kR \rightarrow$  PW-Entwicklung konvergiert schnell für nicht zu hohe Energie

$\rightarrow$  Bsp. NN-Streuung

Bsp: pn-Wirkungsquerschnitt



(36)

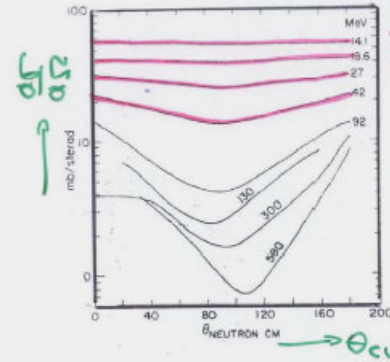


Figure 2.1 Neutron-proton scattering cross sections  $d^2\sigma/d\Omega dE_{\text{CM}}$  as a function of the center-of-mass angle of the deflected neutron, for various laboratory energies of the incident neutron (MeV).

$l < l_{\text{max}} = 1$  für  $E_{\text{CM}} \leq 40$  MeV (S-Welle)

$$l_{\text{max}} \approx \frac{R p}{\hbar} = R \sqrt{\frac{2\mu E_{\text{CM}}}{\hbar^2}} \quad \left[ E_{\text{CM}} = \frac{p^2}{2\mu}, \mu = \frac{m}{2} \right]$$

Reichweite  $\rightarrow$

$$= R \sqrt{\frac{E_{\text{CM}}}{\frac{\hbar^2}{2\mu}}} = R \sqrt{\frac{E_{\text{CM}}}{2\mu}} \quad \left[ \frac{\hbar^2}{2\mu} = \frac{\hbar^2 c^2}{2\mu c^2} = \frac{(200 \text{ MeV fm})^2}{2 \cdot 1000 \text{ MeV}} \approx 20 \text{ MeV fm}^2 \right]$$

$$\approx R [\text{fm}] \sqrt{\frac{E_{\text{CM}} [\text{MeV}]}{40}}$$

$\rightarrow R \approx 1$  fm, kurzreichweitig!

## Scattering with Coulomb interaction (infinite range)

$$\left( \frac{1}{r} \frac{\partial^2}{\partial r^2} - \frac{l(l+1)}{r^2} + \frac{2\pi k}{r} - \frac{U_{nuc}(r)}{k^2} + k^2 \right) \psi_l(k) = 0$$

$\gamma = \frac{U_{nuc}}{k^2}$  Coul. parameter  
 langreichweitig, anal. asympt. wirksam

$$\psi_l^{(+)} \rightarrow \frac{1}{2} \sin\left(\rho - \gamma \ln 2\rho - \frac{l\pi}{2} + \sigma_l + \delta_l'\right)$$

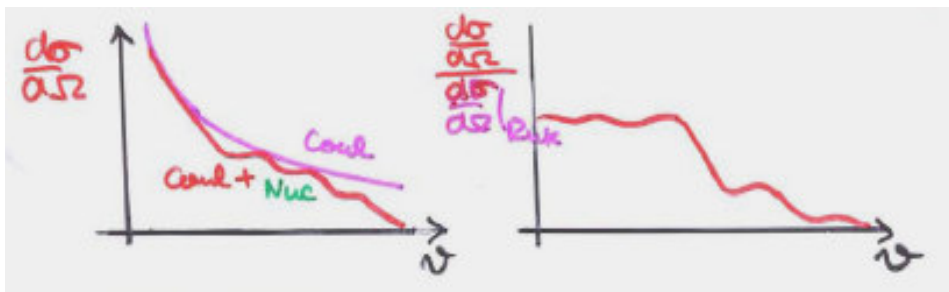
Coulomb phase shift

nuclear phase shift

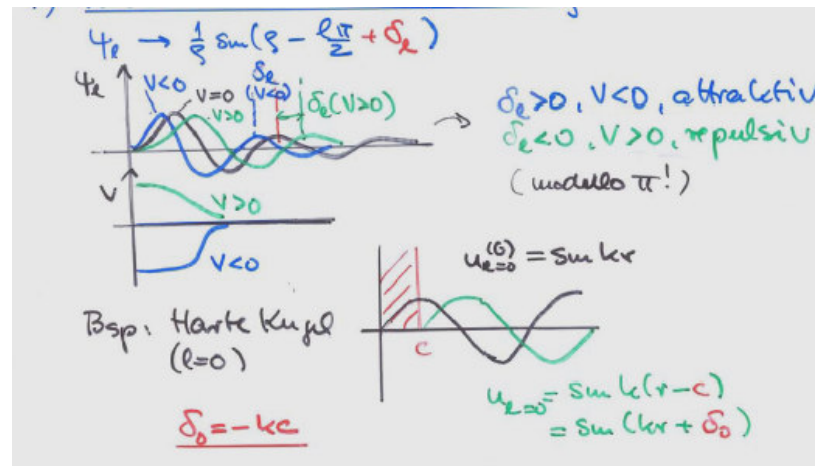
Resultat:

$$f_l(\varrho) = f_{Coul}(\varrho) + f_{nuc}(\varrho)$$

$$e^{i\sigma_l} f_{Coul}(\varrho) \sim \sum (2l+1) \sin \delta_l' e^{i\delta_l'} P_l(\cos \vartheta)$$



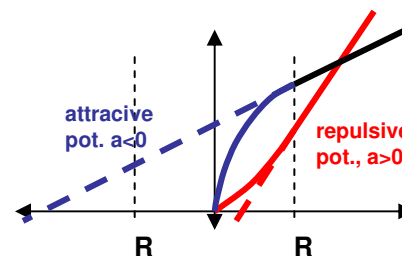
## Sign of phase shift



## Low energy scattering: „scattering length“, $E \rightarrow 0$

- $\delta_l(k) \rightarrow (kr)^{2l+1}$  (s.z.B. harte Kugel)  
 $kr \ll R$
- für  $k \rightarrow 0$  trägt nur  $l=0$  bei (s.o., Konvergenz)
  - Entwicklung  $\tan \delta_0 = -ak + bk^3 + \dots \approx \sin \delta_0$
  - $\sigma \rightarrow \frac{4\pi}{k^2} \sin^2 \delta_0 \approx \frac{4\pi}{k^2} a^2 k^2 = 4\pi a^2$
- $a \equiv$  „Streulänge“  $\triangleq$  Radius bei kleiner Energie

wave function  $u_{l=0}(r) \xrightarrow{E \rightarrow 0, r > R} k(r-a)$



# Reactions

Bisher streung ohne Änderung des inneren Zustands des Kerns: "elastisch"

Kern hat jedoch mehrere Freiheitsgrade. Dann

- Streuung mit innerer Anregung: inelastisch } nicht-elast.
- Streuung mit Teilchenaustausch: Transfer } Reaktion

Atty-Notation:

(proj) (Ziel)  $a + A$   
 $(\text{Bsp. } d + {}^{160}\text{gs.})$

$a + A$   
 $a + A^*$   
 $b + B$   
 $b + x + A$   
 $C^*$

Bsp:

- $d + {}^{160}\text{gs}$  elastisch
- $d + {}^{160}(3^-)$  inelastisch
- $p + {}^{170}$  n-stripping } transfer
- $t + {}^{170}$  n-pickup } transfer
- $p + n + {}^{160}$  breakup } "Kanäle"
- ${}^{180} +$  fusion

ZB. n-stripping

Schematisch

Nomenklatur bei Kernreaktionen:  $A(a, b)B$

- $A$ : Target
- $a$ : Projektil
- $b$ : Ejektill
- $B$ : Restkern

Bsp:  ${}^{160}(d, p){}^{170}$



Nuclear reaction theory –  
sketch in analogy to scattering theory

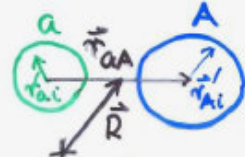
Partition: Aufteilung der Nucleonen auf zwei (oder mehrere) Kerne:  $A+a$  oder  $B+b$

Aufteilung des Hamiltonop:

$$H = \sum T_i + \sum_{i,j} V_{ij}$$

$$= \frac{p^2}{2M} + \frac{p_{aA}^2}{2\mu} + \left( \sum_{i \in a} \frac{p_{ai}^2}{2m} + \sum_{i,j \in a} V_{ij} \right) + \left( \sum_{i \in A} \frac{p_{Ai}^2}{2M} + \sum_{i,j \in A} V_{ij} \right) + \sum_{i \in a, j \in A} V_{ij}$$

$\xrightarrow{0}$  (CM-System)  $T_{aA}$  rel. kin. Energie  
 $=: h_a$  (Struktur a)  $=: h_A$  (Struktur von A)  $=: V_{aA}$  WW



$$\rightarrow H = T_\alpha + V_\alpha + h_\alpha$$

$\alpha = \{a, A\}$  Partitionsindex  
 $h_\alpha = h_a + h_A$   
 $\beta = \{b, B\}$  usw.

entspr.  $H = T_\beta + V_\beta + h_\beta$

Analogie in Reaktionskern: Kernstruktur bekannt

$$\left\{ \begin{array}{l} h_a \phi_{an} = \epsilon_{an} \phi_{an} \\ h_A \phi_{Am} = \epsilon_{Am} \phi_{Am} \end{array} \right\} h_\alpha \phi_{\alpha i} = \epsilon_{\alpha i} \phi_{\alpha i} \quad \begin{array}{l} \phi_{\alpha i} = \phi_{an} \phi_{Am} \\ \epsilon_{\alpha i} = \epsilon_{an} + \epsilon_{Am} \end{array}$$

Ham-op. der Relativbeweg.:  $h_\alpha = T_\alpha + V_\alpha(r_\alpha, \xi_\alpha)$   
 Koordinaten: abhängig von Partition.  $\vec{r}_\alpha = \vec{r}_{aA}$  Part. Koord.  
 z.B. Transfer:  $a + A \rightarrow b + B$  ( $= b + X$ ) ( $= A + X$ )



innere Koordinat. des Part.  $\alpha$ :

$$\frac{\vec{r}_{\beta x}, \vec{r}_{\beta i}, \vec{r}_{\beta j}, \vec{r}_{\beta k}}{\equiv \vec{r}'_i} \quad \xi$$

entspr.  $\beta$ .

Streu funktionen:

$$(H - E) \psi^{(+)} = 0 \quad \leftarrow \text{Streu randbeding. (S.u.)}$$

Ansatz:  $\psi^{(+)} = \sum_\alpha \sum_i \psi_{\alpha i}(\vec{r}_\alpha) \phi_{\alpha i}(S_\alpha)$

$\leftarrow$  Relativfunktion  
 $\leftarrow$  Kanal fkt.  
 $\leftarrow$  Partition Zustände  $\equiv: \alpha$  (Kanäle)

$$[T_\alpha - \underbrace{(E - \epsilon_\alpha)}_{=: E_\alpha}] \psi_\alpha = - \sum_\beta \int d\Omega_\beta (V_{\alpha\beta}^* \psi_\beta) \psi_\alpha(\vec{r}_\alpha)$$

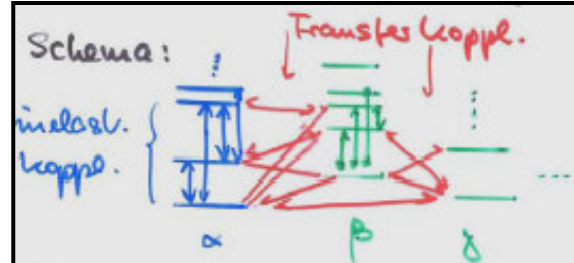
$=: V_{\alpha\beta}$  Kopplungs part "Fermi faktor"

$$[T_\alpha - E_\alpha] \psi_\alpha = - \sum_\beta \int d\Omega_\beta V_{\alpha\beta} \psi_\beta$$

Gekoppelte Gleichung für Relativfunktionen (Coupled Channels, CC)

(gekopp. Dgl, falls nur nichtel. Kanäle)  
 gekopp. Integro-Dgl. wenn Transferkanäle

Schema:



Näherung: Nur bestimmte (wichtige) Kopplungen berücksichtigen!

# Reaction amplitude

(analogous to scattering amplitude in the potential scatterin)

$\Psi^{(+)} \xrightarrow{r \rightarrow 0} e^{ik_\alpha z} \phi_\alpha + \sum_{\beta} f_{\alpha\beta}(\Omega_\beta) \frac{e^{ik_\beta r_\beta}}{r_\beta} \phi_\beta(\Omega_\beta)$   
 (with gauge unproblem.) (bei Breakup)  
 Eingangskanal  
 Real-amp. Ausgangskanäle  
 → Diff. Wirkungsquerschnitt (beachte  $d\sigma = \frac{d\Omega}{M_\beta^2}$ )  
 $\frac{d\sigma}{d\Omega_{\text{out}}} = \left( \frac{k_\beta}{k_\alpha} \frac{M_\alpha}{M_\beta} \right) |f_{\alpha\beta}|^2$

from Green function solution of the CC-equations one obtains (similarly to the scattering)

$$f_{\alpha\beta} = -\frac{m}{2\pi\hbar^2} \int d\mathbf{r}'_\alpha d\mathbf{s}'_\alpha e^{-i\mathbf{k}'_\alpha \cdot \mathbf{r}'_\alpha} \underbrace{\phi_\alpha^*}_{\varphi_\alpha^{(-)*}} V_\alpha \Psi^{(+)}$$

$$f_{\alpha\beta}(\Omega) = -\frac{m}{2\pi\hbar^2} T_{\alpha\beta}(\Omega)$$

T-matrix

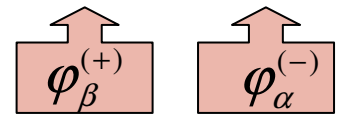
$$T_{\alpha\beta}(\Omega) = \langle \varphi_\alpha^{(-)} | V_\alpha | \Psi_\beta^{(+)} \rangle = \langle \Psi_\alpha^{(-)} | V_\beta | \varphi_\beta^{(+)} \rangle$$

S-Matrix

$$S_{\alpha\beta} = \delta_{\alpha\beta} - 2\pi i T_{\alpha\beta}$$

$$= \langle \varphi_\alpha | \hat{S} | \varphi_\beta \rangle$$

(plane wave) Born approximation



post-prior relation

better: distorted wave BA (later)

# Optical Potential:

Effective description of scattering in the presence of open channels

Ein-gangs-Kanal → elastisch → Flussabnahme im elast. Kanal "Absorption"

→ inelastisch → transfer → Fusion

↑ Flussabnahme insgesamt

Alternative:

- 1.) Beschreibung aller Kanäle gleich zeitig; kompliz. CC-Problem
- 2.) Beschreibung mit reduzierten Kanälen → Flussabnahme, absorptives Potential

wiebes.: Beschreibung nur elast. Kanal → "opt. Potential"

Absorptives Pot. ≡ komplexes Potential (nicht-hermitesch, nicht flusseshalt.)

$$U_{opt} = V(r) + iW(r)$$

Real teil    Imag. teil

Form:  $V(r) = \int dr' \rho_{sub}(r') V_{sub}(r-r')$

Realkteil: Faltung

kurzreichweitig ( $\sim 1 \text{ fm}$ )

Parametrisierung (Woods-Saxon-Pot.)

$$V(r) = V_0(E) \frac{1}{1 + \exp\left(\frac{r-R_f}{a_f}\right)}$$

$R_f = r_{ov} A^{1/3}$ ;  $r_{ov} \sim 1.2 \text{ fm}$  (größer als bei  $S_{sub}$ )  
 $a_f \sim 0.65 \text{ fm}$  (etwas größer)

Imaginärteil: nicht so klar, da abhängig von Reaktionsmechanismus, der zu Absorption führt.

Parametrisierung:

"Volumenabsorption":  $W_v = \frac{W_0(E)}{1 + \exp\left(\frac{r-R_i}{a_i}\right)}$

"Oberflächenabsorpt":  $W_s \sim \frac{dw}{dr}$      $R_i \leq R_v$   
 $a_i \approx a_v$      $\Rightarrow W_0 < 0$  (sm)

- Mechanismus der Anregung anderer Kanäle
- abhängig von Probe ( $p, \pi, A$ )
- oft beides (B.B.-p.)

Bestimmung der Parameter durch Anpassung an Daten: s. S. 45

→ Stärke Energieabhängig!  
 (→ Energieabh. von  $V_{sub}$ )  
 → Effektivität der Kopplung an andere Kanäle

## Optical Potential:

complex potential  $\rightarrow$  complex index of refraction

Komplexes Pot.  $\equiv$  "Optisches" Potential  
 $\hat{=}$  komplexer Brechungsindex

$$\left(-\frac{\hbar^2}{2m}\Delta + V + iW\right)\psi = i\hbar\partial_t\psi = E\psi$$

Sei  $V, W$  konstant (z.B. im Inneren des Kerns)

$$\psi(\vec{r}) \sim e^{i\vec{k}\vec{r}}$$

$$k = \sqrt{\frac{2m}{\hbar^2}(E - V - iW)} = k_r + ik_i \stackrel{!}{=} \frac{n}{c}\omega$$

Brechungsindex komplex!

(gilt auch lokal,  $\rightarrow k(\vec{r})$ )

$$\text{Dann: } |\psi|^2 = |e^{i(k_r + ik_i)r}|^2 = e^{-2k_i r}$$

"Dämpfung"

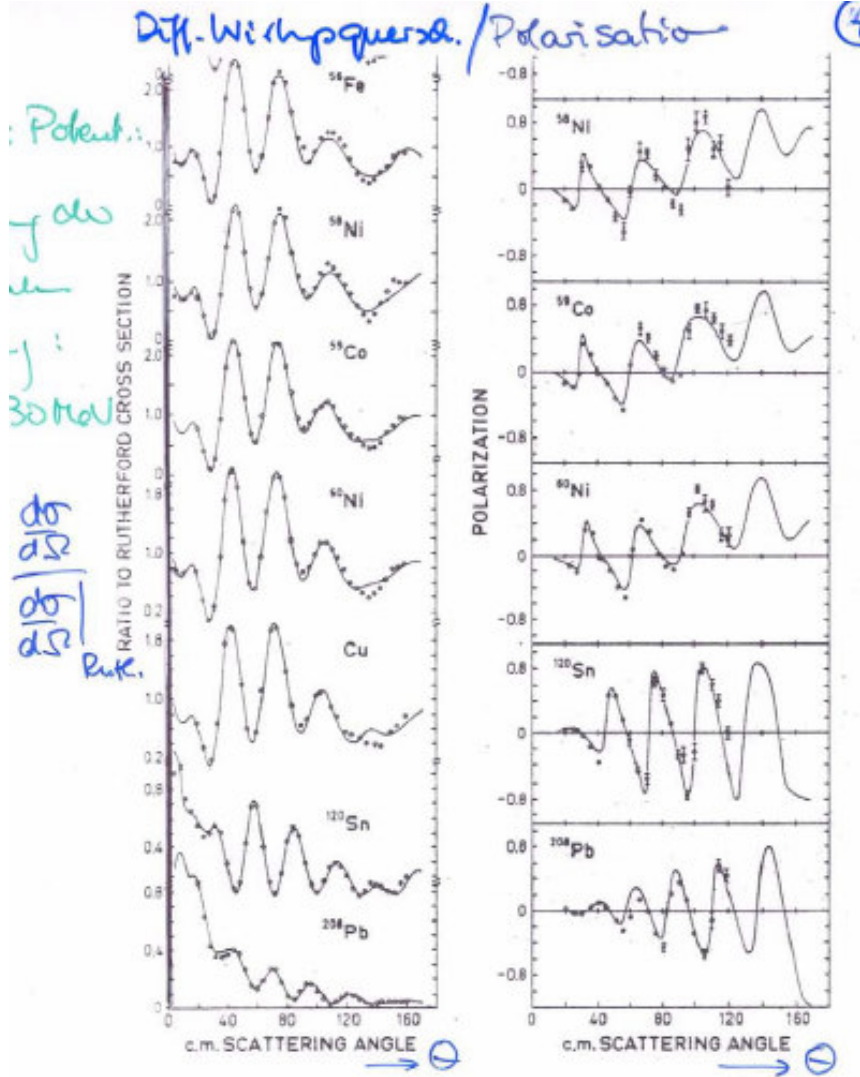
Dämpfungslänge  $\sim$  Reichw  $\lambda \sim \frac{1}{2k_i}$  (g. 20)

Zahlenbsp.:  $E = 100 \text{ MeV}$ ,  $V \sim 20 \text{ MeV}$ ,  $W \sim 10 \text{ MeV}$

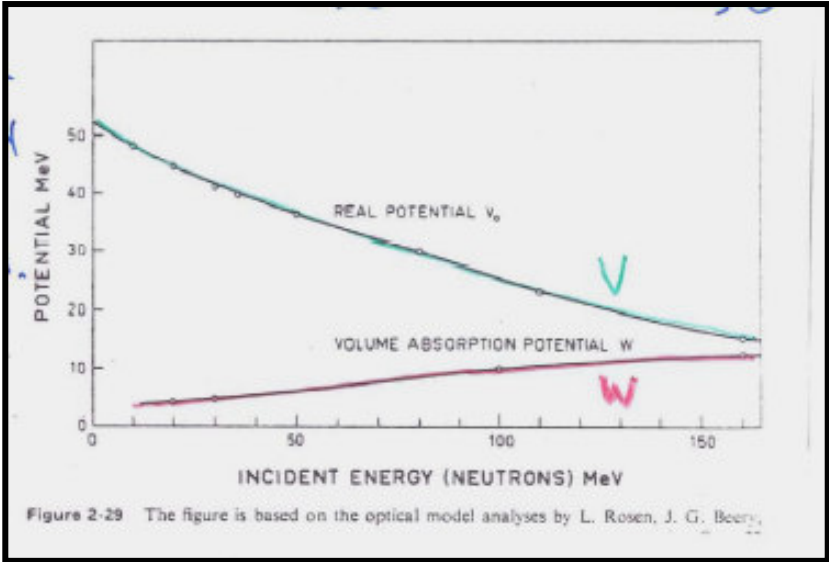
$$k = \sqrt{\frac{1}{20}(80 - 10i) \text{ fm}^{-1}} = \sqrt{4 - \frac{i}{2}} \text{ fm}^{-1} = 2\left(1 - \frac{i}{16}\right) \text{ fm}^{-1}$$

$$k_i \sim \frac{1}{8} \text{ fm}^{-1}; \quad \lambda \sim \frac{1}{2k_i} \sim \underline{4 \text{ fm}}$$

**Optical pot. fit of elastic scattering; p + A, 30 MeV**



**Energy dependence of strength of opt. Potential**



Alternative view on absorption by OM:

→ Derive continuity eq. from Schrödinger eq.

$$\frac{d\rho}{dt} + \operatorname{div} \vec{j} = \left( \frac{2}{\hbar} W \rho \right) \quad (= 0 \text{ für hermit.-Potential, s.S. 14})$$

$$\rho = \psi^* \psi, \quad \vec{j} = \frac{\hbar}{m i} \nabla \psi (\psi^* \nabla \psi)$$

Absorption rate: Integration über große Kugel

$$\frac{d}{dt} \underbrace{\int \rho dV}_N + \underbrace{\int \operatorname{div} \vec{j} dV}_{=0 \text{ (Gauß'scher Satz)}} = \frac{2}{\hbar} W N \quad (W = \text{const})$$

$$\frac{dN}{dt} = \frac{2}{\hbar} W N$$

$$N(t) = N_0 e^{-t/\tau}; \quad \tau = -\frac{\hbar}{2W} \rightarrow W < 0 \rightarrow \text{Absorption!}$$

$\tau$  Absorptionszeit

Reichweite  $\lambda = v\tau = \frac{\hbar v}{2|W|}$ ,  $v = \frac{\sqrt{2E}}{m}$

$$= \frac{\hbar}{W} \sqrt{\frac{E}{2m}} \approx \frac{1}{10 \text{ MeV}} \sqrt{(20 \text{ MeV fm}^2) \cdot 100 \text{ MeV}} \sim 4.5 \text{ fm}$$

→ Reichweite (mittl. freie Weglänge)  $\lambda_{\text{opt}} \sim 4 \text{ fm}$

→ groß gegen  $\bar{d} \sim 1.8 \text{ fm}$ , mittl. Abstand

→ vergleichbar mit Kerngröße  $R = r_0 A^{1/3}$

Vergleich mit gas kinetisches mittl. fr. Weglänge

$$\lambda_{\text{gh}} = \frac{1}{\rho \sigma_{\text{tot}}} \quad \rho = 0.17 \text{ fm}^{-3}$$

$$\sigma_{\text{tot}} \Big|_{100 \text{ MeV}} \sim 150 \text{ mb} = 15 \text{ fm}^2 \quad (\text{frei NN-NN})$$

$$\lambda_{\text{gh}} \sim 0.4 \text{ fm} \ll \lambda_{\text{opt}} \sim 4 \text{ fm} \quad ? \text{ Wie kommt das?}$$

$\sigma_{\text{tot}}^{\text{frei}} \gg \sigma_{\text{tot}}^{\text{medium}}$  (später!)

Zusammenfassung: Eigenschaften des nuklearen Mediums (47)

- dicht ( $\bar{d} \sim r_0$ )
- Sättigung ( $v \sim A$ )
- geringe Kompressibilität,  $a \ll R$

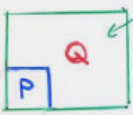
→ große mittl. fr. Weglänge;  $\lambda \sim R \rightarrow$  Gas

} Flüssigkeit } Fermi-  
} } flüssig-  
} } keit

d.h. Fermioneigenschaften (Pauliprinzip) unterdrücken WW im Medium.  
(unterdrücken mehr!)

Remarks to the microscopic understanding of the Optical Potential:

Absorption, aber Baryonenzahl-erhaltung!  
 → Fluß in andere Kanäle, d.h. andere Gebiete des Hilbertraums.



$\mathcal{H}$  (Vielteilchen-Hilbertraum)  
 P elastische Streuung  
 Q "Rest", unelastische Prozesse

Projektionsmethode (Feshbach) bei Beschränkung der Wellenfunktion auf Unterraum Projektionsop.  $\hat{P}, \hat{Q}$   
 $\hat{P} + \hat{Q} = 1 \quad \hat{P}^2 = \hat{P}, \hat{Q}^2 = \hat{Q} \quad \hat{P}\hat{Q} = \hat{Q}\hat{P} = 0$   
 $\psi = (\hat{P} + \hat{Q})\psi = \psi_P + \psi_Q$   
 ⇒ Aufstellen einer Gleichung für  $\psi_P$ :

Projektionsformalismus:  $\hat{P} + \hat{Q} = 1$

$$(H - E)\psi = 0$$

$$\hat{P}(H - E)(\hat{P} + \hat{Q})\psi = 0$$

$$\underbrace{(PHP)}_{H_{PP} \text{ (Beschränkt. auf P)}} + \underbrace{PHQ}_{H_{PQ} \text{ (Übergang op.)}} - EP \psi = 0$$

$$(H_{PP} - E)\psi_P = -H_{PQ}\psi_Q$$

$$\text{entspr. } (H_{QQ} - E)\psi_Q = -H_{QP}\psi_P$$

↙ "auflösen"  $\psi_Q^{(a)} = \frac{1}{E - H_{QQ}(i\epsilon)} H_{QP}\psi_P$  ↘ einsetzen  
 ← Randbedingung;  $\epsilon \rightarrow 0$   
 $\triangleq$  Green-Funktion

$$\left( H_{PP} + H_{PQ} \frac{1}{E - H_{QQ}(i\epsilon)} H_{QP} - E \right) \psi_P = 0$$

komplex wegen  $(i\epsilon) \triangleq$  Opt.-Potential

Notes:

1. This is a **formal** expression; explicit calculation difficult, since sum over all states in **Q** (but possible for certain classes of states)
2. Opt. Potential usually determined **empirically** by fit to elastic scattering (as above)
3. Derivation of an optical potential also possible from a different perspective (Feshbach, Porter, Weißkopf, 1954): **Overlapping compound nuclear resonances** can be represented by the cross section of a complex potential (later)
4. General principle:  
 when limiting a wavefunction to a **subspace** of the complete space, one obtains an **effective interaction**.  
 If the Q-space contains **open channels**, the effective interaction becomes **complex**.

**Thank you for your interest!**

**.....until the next time!**